

06.2; 06.3; 07

© 1993

ВЫСОКОЭФФЕКТИВНЫЙ СОЛНЕЧНЫЙ ЭЛЕМЕНТ  
НА ОСНОВЕ  $InP/In_{0.53}Ga_{0.47}As$   
ДЛЯ КАСКАДНЫХ ФОТОПРЕОБРАЗОВАТЕЛЕЙ

В.М. А н д� е в, И.А. Ж е б у л е в,  
Л.Б. Ка р л и н а, И.А. М о к и н а,  
В.Д. Р у м я н ц е в, М.З. Ш в а р ц

Использование концентраторных каскадных солнечных элементов (СЭ) является одним из наиболее перспективных путей увеличения КПД фотоэлектрических преобразователей солнечной энергии. В tandemных СЭ в качестве лицевых СЭ могут использоваться высокоэффективные СЭ на основе  $GaAs$  или  $InP$ , технология которых хорошо разработана [1]. В этом случае наиболее подходящими материалами для изготовления тыльных элементов являются  $GaSb$  или твердый раствор  $In_{0.53}Ga_{0.47}As$  ( $InGaAs$ ). В настоящее время КПД более 35% (при кратности концентрации солнечного излучения  $K_c = 100$ , АМ 1, 5) достигнут в концентраторных tandemных СЭ с механическим соединением  $GaAs$  и  $GaSb$  элементов и использованием призматических покрытий на светочувствительных поверхностях [2].

Однако существует значительный интерес к разработке и усовершенствованию узкозонных СЭ на основе  $InGaAs$ , что связано с обнаруженной высокой радиационной стойкостью каскада  $InP/InGaAs$  [3].

В данной работе приводятся результаты исследований концентраторных солнечных элементов на основе твердого раствора  $In_{0.53}Ga_{0.47}As$ , выращенного на подложках фосфида индия методом жидкофазной эпитаксии.

Обычно структура СЭ, используемого в качестве узкозонного каскада, включает в себя активные области  $n$ - и  $p$ -типа твердого раствора  $InGaAs$  и широкозонное окно из  $InGaAsP$  или  $InP$ , которое снижает рекомбинационные потери носителей на поверхности СЭ [4]. Однако при использовании метода ЖФЭ наращивание широкозонного окна вызывает определенные трудности, связанные с возможностью неконтролируемого подтравливания узкозонного фотоактивного слоя и образованием дополнительных переходных слоев на гетерогранице  $InGaAs - InP$ .

Нами была разработана конструкция узкозонного СЭ с подводом концентрированного солнечного излучения через подложку фосфида индия. В этом случае подложка является широкозонным окном и одновременно обеспечивает малое сопротивление растекания. В силу лучшей прозрачности в диапазоне 1.0–1.8 мкм предпочтительно использование подложек  $InP$   $n$ -типа проводимости.

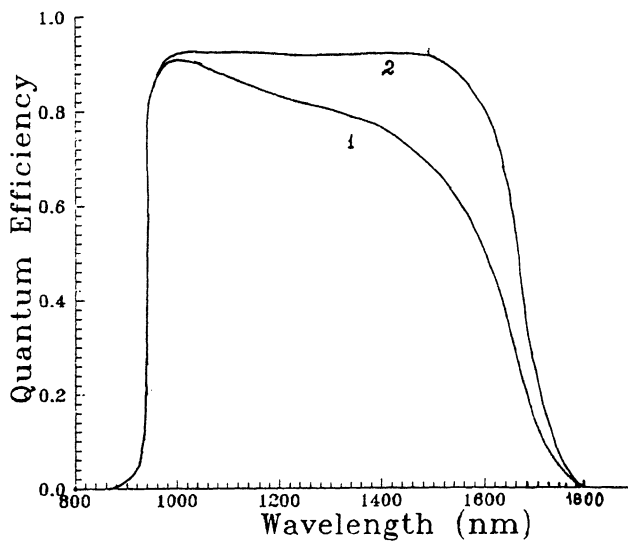


Рис. 1. Экспериментальная зависимость коэффициента собирания  $InGaAs$  солнечного элемента с концентрацией акцепторов в базовой области 1 -  $N_p = (1-3) \cdot 10^{18} \text{ см}^{-3}$ , 2 -  $N_p = (3-8) \times 10^{17} \text{ см}^{-3}$ .

Выращенные структуры СЭ включали в себя подложку  $InP$ , буферный слой  $n-InP$  легированный рением или нелегированный, фронтальный слой  $n-InGaAs$  с концентрацией носителей  $(0.7-1) \times 10^{17} \text{ см}^{-3}$  и базовую область  $p-InGaAs$ , легированную марганцем с концентрацией носителей  $(0.6-2) \cdot 10^{18} \text{ см}^{-3}$ .

В ряде случаев с целью создания изотипного тыльного барьера наращивался дополнительный слой  $p^+-InGaAs$  с концентрацией  $(0.8-1) \cdot 10^{19} \text{ см}^{-3}$ . Использование марганца в качестве акцепторной примеси, в отличие от традиционно используемых цинка или магния, позволило точно и воспроизводимо контролировать глубину залегания - перехода, уровень легирования базовой области и тыльного барьера. Тонкоотводящие контакты к подложке  $n-InP$  выполнялись в виде рамки к фронтальному слою и в виде сплошного контакта к слою  $p^+-InGaAs$ . Просветление структуры обеспечивалось нанесением пленок  $Si_3N_4$  методом магнетронного распыления. На завершающем этапе изготовления пластина разделялась на СЭ площадью  $1.5-2 \text{ мм}^2$ . Значения КПД рассчитывались по отношению к площади фоточувствительной поверхности СЭ, свободной от контактов.

На рис. 1 показана зависимость коэффициента собирания фотогенерированных носителей заряда от длины волны падающего излучения для структур с различным уровнем легирования области  $p-InGaAs$ . Сильное легирование базы приводит к резкому уменьшению диффузионной длины неосновных носителей в ней и увеличе-

нию рекомбинационных потерь в объеме материала. Для  $n\text{-InGaAs}$  [ $Mn$ ] уменьшение  $L_n$  почти в два раза наблюдается при увеличении концентрации  $n$  от  $6 \cdot 10^{17}$  до  $2 \cdot 10^{18} \text{ см}^{-3}$ . Снижение концентрации примеси в базовой области вызывает уменьшение напряжения холостого хода ( $V_{xx}$ ) вследствие снижения потенциального барьера, но приводит к увеличению тока короткого замыкания. Компромиссным решением является наращивание изотипного тыльного барьера, снижающего скорость поверхностной рекомбинации вблизи тыльного металлического контакта и увеличивающего  $V_{xx}$ . Коэффициент сопротивления носителей заряда составлял около 90% практически во всем спектральном диапазоне фоточувствительности, простирающемся от начала поглощения излучения в слое  $InGaAs$  до начала поглощения излучения в подложке  $InP$ . Это позволило получить значения фототока  $24\text{--}26 \text{ mA/cm}^2$  близкие к лучшим опубликованным к настоящему времени значениям  $I_{K3}$  для узкозонных соединений  $\text{Al}_3\text{B}_5$  с шириной запрещенной зоны  $0.6\text{--}0.8$  эВ [2-5], освещаемых солнечным излучением АМ 1.5-2 через  $GaAs$  или  $InP$ .

Измерения ВАХ СЭ при интенсивной засветке проводились под импульсным имитатором солнечного излучения. В качестве эталонных использовались несколько образцов СЭ, измеренных непосредственно в натурных условиях при освещении солнечным спектром АМ 2 и  $K_c = 1$ .

Анализ зависимостей  $lg I_{K3}$  от  $V_{xx}$ , получающихся за счет варьирования  $K_c$ , позволил определить параметры составляющих темнового тока (рис. 2). Структуры СЭ, выращенные непосредственно на подложке или имеющие промежуточный нелегированный буферный слой, имели диодный коэффициент  $A = 2$  и плотность обратного тока насыщения  $j_o = (3\text{--}7) \cdot 10^{-5} \text{ A/cm}^2$ , т.е. в таких структурах преобладающим темновым током является генерационно-рекомбинационная составляющая в области объемного заряда (рис. 2, б). Для СЭ с буферным слоем  $n\text{-InP(Re)}$   $A = 1$ ,  $j_o = (0.6\text{--}2) \cdot 10^{-8} \text{ A/cm}^2$ , что свидетельствует о диффузионном механизме протекания тока через  $p\text{-n}$  переход (рис. 2, а). При этом минимальные значения  $j_o = 6 \cdot 10^{-9} \text{ A/cm}^2$  несколько ниже лучших опубликованных значений обратного тока насыщения СЭ  $InGaAs$ , изготовленных методом газофазной эпитаксии с применением металлоорганических соединений [5].

Нагрузочные ВАХ  $InGaAs$  СЭ с нелегированным буферным слоем представлены на рис. 3. Данный элемент сохраняет высокие значения КПД порядка 10% (AM 2) в широком диапазоне  $K_c = 28\text{--}129$  (кривые 2-4).

Таким образом, разработанная структура  $InGaAs$  СЭ с изотипным тыльным барьером позволила получить КПД, близкий к предельным значениям при данных условиях освещенности. Использование такого СЭ в сочетании с широкозонным элементом из арсенида галлия с КПД 25-27% дает основание надеяться на получение КПД до 35% в каскадном СЭ с механическим соединением элементов.

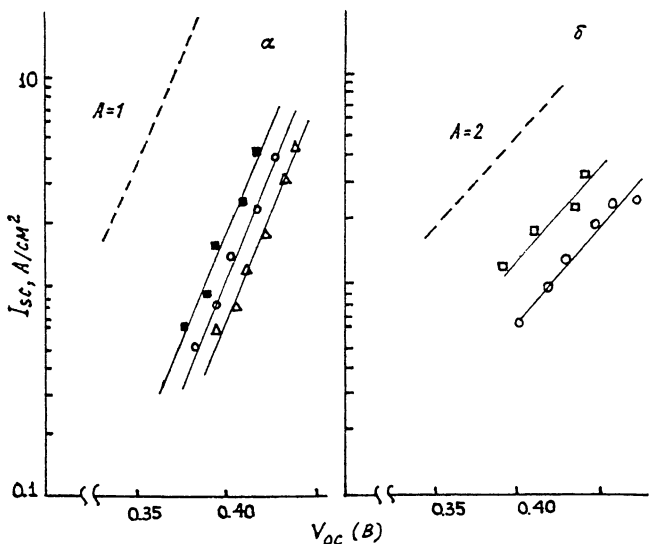


Рис. 2. Зависимость  $I_{K3}$  от  $U_{xx}$  для  $InGaAs$  СЭ с буферными слоями, легированными рением (а) и нелегированными буферными слоями (б).

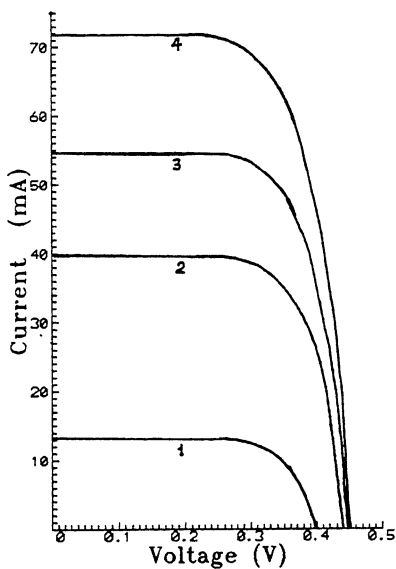


Рис. 3. Нагрузочные ВАХ  $InGaAs$  СЭ при освещении импульсной Хе-лампой. Интенсивность освещения эквивалентна кратностям концентрирования солнечного излучения АМ 2: 1 - 28, 2 - 83, 3 - 114, 4 - 149.

В заключение авторы выражают благодарность Ж.И. Алферову за поддержку данной работы, Т.С. Табарову за полезные обсуждения и В.И. Мырзину за нанесение просветляющих покрытий.

## С п и с о к л и т е р а т у р ы

- [1] А н д�еев В.М., Грилихес В.А., Румянцев В.Д. Фотоэлектрическое преобразование концентрированного солнечного излучения. Л.: Наука, 1989. 309 с.
- [2] Fraas L.M., Avery J.E., Martin J., Sundaram V.S., Girard G., Van Dinh T., Davenport T.M., Yerkes J.W., O'Neill M.J. // IEEE Transaction on Electron Devices. 1990. V. 37. N 2. P. 443-449.
- [3] Walter R.J., Shaw G.J., Summers G.P., Wanlass M.W., Ward J.S. Proc. 4 Inter. Conf. Indium Phosphide and Related Material 1992, Newport, USA. P. 550-553.
- [4] Beaumont B., Nataf G., Garabedian P., Guillaume J.C., Veriere C. // Solar Cells. 1989. V. 26. P. 313-321.
- [5] Wanlass M.W., Ward J.S., Emery K.A., Gessert T.A., Ostervald C.R., Coutts T.J. // Solar Cell. 1991. V. 30. P. 363-371.

Физико-технический  
институт им. А.Ф. Иоффе  
РАН, С.-Петербург

Поступило в Редакцию  
15 марта 1993 г.